

Министерство нефтяной промышленности
ВНИИСПиНефть

РУКОВОДЯЩИЙ ДОКУМЕНТ
ТЕХНОЛОГИЯ ПРЕДОТВРАЩЕНИЯ "РУЧЕЙКОВОЙ" КОРРОЗИИ
В СИСТЕМАХ НЕФТЕГАЗОСБОРА
РД 39-0147103-347-86

1986

Министерство нефтяной промышленности
ВНИИСПНефть

УТВЕРЖДЕН
заместителем министра
С.М.Топловым
14 июня 1986 года

РУКОВОДЯЩИЙ ДОКУМЕНТ
ТЕХНОЛОГИЯ ПРЕДОТВРАЩЕНИЯ "РУЧЕЙКОВОЙ" КОРРОЗИИ
В СИСТЕМАХ НЕФТЕГАЗОСБОРА
РД 39-0147103-347-86

1986

Руководящий документ предназначен для инженерно-технических работников, занимающихся проектированием, устройством и эксплуатацией однострунных систем сбора нефти и газа на нефтяных месторождениях.

РД "Технология предотвращения "ручейковой" коррозии в системах нефтегазосбора" разработана сотрудниками ВНИСПТнефть Корниловым Г.Г., Арменским Е.А., Гурьяновой В.А., Галимовой Г.Ю., Евстигнеевой А.И., Ионше М.Н. и сотрудником ЦНИИ ПО "Нижневартовскнефтегаз" Кондратьев О.П.

РУКОВОДЯЩИЙ ДОКУМЕНТ

Технология предотвращения "ручейковой"
коррозии в системах нефтегазосбора

РД 39-0147103-347-86

Вводится впервые

Срок введения установлен с 14 июня 1986 г.

Срок действия до 14 июня 1989 г.

Настоящий РД является руководством для специалистов, занятых проектированием и эксплуатацией систем однострубно-го нефтегазосбора.

Регламент устанавливает необходимые технологические режимы перекачки газоводонефтяной смеси, при которых повышается эффективность работы системы.

1. ОБЩИЕ ПОЛОЖЕНИЯ

1.1. Применение предлагаемой технологии в системах однострубно-го нефтегазосбора позволит:

повысить сроки службы и безаварийной эксплуатации трубопро-
водов;

снизить расход дорогостоящих ингибиторов коррозии до миниму-
ма;

исключить локальную "канавочную" коррозию;

уменьшить металлоемкость;

улучшить общие технико-экономические показатели работы
систем.

1.2. Предлагаемая технология распространяется на системы, где

- 1) нефти обладают ньютоновскими свойствами, а режим работы систем - непрерывный;
- 2) содержание воды и газа в продукции скважин ограничивается величиной расходного объемного газосодержания не менее 0,4 и не более 0,9 при обводненности 30 % - 70 %.

2. ТРЕБОВАНИЯ, ПРЕДЪЯВЛЯЕМЫЕ К ТЕХНОЛОГИЧЕСКОМУ ПРОЦЕССУ

2.1. Технологический процесс способствует обеспечению:

- 1) определенных гидродинамических условий движения жидкой фазы с целью предотвращения "ручейковой" коррозии и перевода ее в общую коррозию, которая в среднем на 4 порядка ниже.
- 2) степени защиты внутренней поверхности трубопроводов не ниже 88 %, исходя из сроков их службы.

3. ТЕХНИЧЕСКИЕ СРЕДСТВА И МАТЕРИАЛЫ, НЕОБХОДИМЫЕ ДЛЯ ОСУЩЕСТВЛЕНИЯ ТЕХНОЛОГИЧЕСКОГО ПРОЦЕССА

3.1. Для осуществления предлагаемого технологического процесса используются стандартные средства и оборудование, применяемые при транспорте газодонефтяных смесей по обычной (базовой) технологии, дополнительного оборудования и средств не требуется.

3.2. Предлагаемая технология не изменяет способов ввода в поток газодонефтяной смеси химических реагентов по обычной (базовой) технологии.

4. МЕХАНИЗМ ВЫРАБОТКИ МЕТАЛЛА В СТЕНКЕ ТРУБОПРОВОДА ПО ЕГО НИЖНЕЙ ОБРАЗУЮЩЕЙ

В основу предлагаемой технологии положен следующий механизм разрушения стенок трубопровода.

4.1. При движении маловязкой обводненной нефти вместе с газом вода выделяется в третью свободную фазу. Наличие слоя воды под слоем нефти вызывает при определенных технологических условиях и режимах движения специфическую выработку металла стенки трубопровода по его нижней образующей в виде канавок, так называемую "ручейковую" коррозию.

4.2. Такая выработка вызвана кавитационным и усталостным разрушениями, абразивным износом и электрохимической коррозией. Причиной возникновения первых трех факторов является волнообразование на границе раздела фаз, которое возникает вследствие их относительного движения.

4.3. При обтекании и разрушении волн потоком наблюдаются вторичные, обратные течения, с которыми связано подрезание волн, отрыв, вращение капель, образование вихревых дорожек.

4.3.1. Поверхность, прилегающая к восходящему и нисходящему участкам волны имеет пограничный слой, толщина которого по сравнению с размерами волны весьма мала. Но на этой толщине скорость по нормали к поверхности резко изменяется от скорости обтекания на границе раздела фаз до нуля на некотором расстоянии от этой границы.

4.3.2. Частицы жидкости, находящиеся вне пограничного слоя, в симметричных точках на восходящей и нисходящей ветвях волны имеют одинаковую скорость.

Частица жидкости внутри пограничного слоя в непосредственной близости к границе раздела из-за повышения давления на

нисходящем участке ветви волны может остановиться и под воздействием распределения давления внешнего течения двигаться в обратном направлении, оторваться и получить значительное вращение.

4.3.3. Вихри образуются в результате резкого изменения направления движения слоя жидкости от вертикального к горизонтальному в основании волны и в результате закрутки и срыва некоторого объема жидкости на гребне волны. Вихри образуются также в результате относительного обтекания газом капель жидкости, а также при обтекании и относительном сдвиге жидкостью мехпримесей (песок, окислы железа и другие взвешенные частицы).

4.3.4. В зависимости от скорости движения слоя воды, размеров мехпримесей одна их часть выпадает в осадок, другая находится во взвешенном состоянии.

Первые способствуют абразивному износу стенки трубы поскольку сами подвержены вращению по причине их относительного обтекания и образования вихрей.

4.3.5. Во всех случаях вихри группируются в более или менее правильный ряд, образуя вихревые дорожки.

4.4. В результате вращения вихря внутри его образуются полости низкого давления (каверны), заполненные парами жидкости или же растворенными газами.

4.4.1. При входе "пустотных" каверн в зоны с более высоким давлением или прекращении действия сил, способствующих образованию таких каверн, последние разрушаются вследствие перепада внешнего давления и давления внутри каверны. При этом жидкость с большой скоростью заполняет пустотные каверны, что вызывает гидравлический удар с возникновением точечных давлений, достигающих до 30 МПа и более.

4.5. Перекрытие волнами жидкости канала газа и их разрушение (так называемый процесс "захлебывания" трубопровода), а также кавитационные явления, связанные с образованием вихрей, вызывают вибрацию трубы.

4.5.1. При этом стенки трубопровода испытывают знакопеременные нагрузки, амплитуда колебаний которых направлена по вертикали. В связи с этим знакопеременные нагрузки в основном приходится на нижнюю, контактирующую с водой, и верхнюю, испытывающую воздействие газа, образующие трубопровода.

4.6. Исходя из вышесказанного, с целью предотвращения "ручейковой" коррозии, необходимо предотвратить образование волн и вихрей в особенности на границе раздела фаз "жидкость-жидкость". При этом локальная "ручейковая" коррозия сведется к общей, равномерной коррозии, которая по сравнению с "ручейковой" в среднем на 4 порядка ниже. К тому же методы и средства борьбы с общей коррозией известны.

5. МЕРОПРИЯТИЯ ПО ПРЕДОТВРАЩЕНИЮ "РУЧЕЙКОВОЙ" КОРРОЗИИ

5.1. Исключить условия выделения воды в третью свободную фазу, т.е. исключить саму базу образования волн. Это условие выполняется в период добычи и транспорта безводной нефти при эксплуатации нефтяного месторождения в так называемый безводный период.

5.2. При транспорте маловязкой обводненной нефти исключить "ручейковую" коррозию можно:

- 1) глубоким обезвоживанием и сбросом выделившейся воды в начальном пункте;
- 2) созданием в начальном пункте стойкой водонефтяной эмульсии.

В практических условиях эксплуатации систем сбора указанные выше методы трудоемки и не всегда выполнимы.

5.3. Необходимо путем создания нужного режима при обтекании волн уйти из области образования устойчивых вихревых дорожек. Из экспериментальных исследований следует, что образование вихрей происходит в определенной области турбулентного режима. Эту область режима необходимо исключить путем обеспечения нужной скорости и режима движения жидкой фазы в трубопроводе.

5.4. В каждом конкретном случае способы реализации нужных режимов работы будут свои, т.е. при этом необходимо учесть ряд специфических требований, вытекающих из конкретных условий эксплуатации.

6. ПЕРЕВОД СИСТЕМЫ ПРОМЫСЛОВОГО СБОРА И ТРАНСПОРТА ПРОДУКЦИИ СКВАЖИН НА ПРЕДЛАГАЕМУЮ ТЕХНОЛОГИЮ

6.1. Для расслоенной структуры потока:

6.1.1. Перевод системы промышленного сбора и транспорта продукции скважин на предлагаемую технологию осуществляется для действующих трубопроводов и вновь проектируемых.

6.1.2. В целях реализации технологии необходимым условием, при котором локальные разрушения труб по их нижней образующей в виде канавок можно свести к общей коррозии, является обеспечение нужной истинной средней скорости движения жидкой фазы и числа Рейнольдса.

Значение первого параметра должно быть не менее 0,65 м/с, а второго - не менее 10000.

6.1.3. Истинная средняя скорость движения жидкой фазы равна

$$u' = \frac{4Q'}{\pi d_i^2 (1-\alpha)}, \quad (1)$$

где Q' - объемный расход жидкой фазы, м³/с ;
 d_i - внутренний диаметр трубы, м ;
 α - истинное газосодержание смеси.

6.1.4. Число Рейнольдса жидкой фазы равно

$$Re' = \frac{u' \cdot d_i \sqrt{1-\alpha}}{\nu'}, \quad (2)$$

где ν' - кинематическая вязкость жидкой фазы, м²/с.

6.1.5. Истинное газосодержание смеси α определяется по формулам:

$$\text{при } F_{2см} \leq 4,0 \quad \text{и} \quad \mu' \leq 1,0 \cdot 10^{-3} \text{ Па} \cdot \text{с}$$

$$\alpha = 0,81 \cdot \beta [1 - \exp(-2,2 \sqrt{F_{2см}})] \quad (3)$$

$$\text{при } F_{2см} \leq 4 \quad \text{и} \quad \mu' \geq 1,0 \cdot 10^{-3} \text{ Па} \cdot \text{с}$$

$$\alpha = \beta (0,83 - 0,095 \lg \mu') [1 - \exp(-2,2 \sqrt{F_{2см}})] \quad (4)$$

В (4) значение μ' в сантипуазах.

$$\text{При } F_{2см} > 4,0 \quad \text{и} \quad \mu' > 1,0 \cdot 10^{-3} \text{ Па} \cdot \text{с}$$

$$\alpha = \beta \left(\frac{\mu''}{\mu'} \right)^{0,0475}, \quad (5)$$

где $\mu' \mu''$ - абсолютная вязкость жидкой и газовой фаз;
 $F_{2см}$ - критерий Фруда смеси;
 β - расходное объемное газосодержание.

6.1.6. Определяется расходное объемное газосодержание при транспортировании нефтегазоводяных смесей по трубопроводам :

$$\beta = \frac{1}{1 + \frac{\bar{p} \cdot \bar{T}}{p_0 \cdot T_0 \cdot Z(1-W)(\Gamma_{\phi} - S\bar{p} + Q_{гг} \frac{Q'}{Q_H}) \cdot K}}, \quad (6)$$

- где
- Γ_{ϕ} - газовый фактор, приведенный к нормальным условиям;
 - S - коэффициент растворимости, м³/м³; Па ;
 - W - обводненность в долях единицы;
 - Z - коэффициент сжимаемости газа;
 - \bar{p}, \bar{T} - соответственно средние давления и температура на участке;
 - p_0, T_0 - давление и температура при стандартных условиях;
 - $Q_{гг}$ - объемный расход газа на газлифт для подъема единицы объема жидкости, приведенный к нормальным условиям;
 - Q_H - объемный расход нефти;
 - Q' - расход жидкой фазы;
 - K - процент отбора газа трубчатым устройством предварительного отбора газа (ТУПОГ-ом) в долях единицы.

При не работающем ТУПОГ-е - $K=1$

При отсутствии газлифта - $Q_{гг}=0$

6.1.7. Критерий Фруда смеси

$$Fr_{см} = \frac{u_{см}^2}{g \cdot d}, \quad (7)$$

6.1.8. Скорость смеси

$$U_{cm} = \frac{4Q_{cm}}{\pi d_1^2} \quad (8)$$

6.1.9. Объемный расход нефтегазоводяной смеси в коллекторе

$$Q_{cm} = Q' + Q'' \quad (9)$$

6.1.10. Объемный расход газовой фазы в рабочих условиях

$$Q'' = Q' \frac{\beta}{(1-\beta)} \quad (10)$$

6.2. Устранить "ручейковую" коррозию в коллекторах можно одним из нижеследующих мероприятий.

6.2.1. При заданном внутреннем диаметре коллекторов, подверженных разрушениям, d_1 :

- увеличить расход жидкой фазы Q' при неизменном расходе газовой фазы Q'' ;
- увеличить расход газовой фазы Q'' при неизменном расходе жидкой фазы Q' ;
- увеличить одновременно расход и жидкой и газовой фаз.

6.2.2. При заданных расходах жидкой и газовой фаз уменьшить внутренний диаметр аварийных коллекторов путем их реконструкции.

Последнее мероприятие наиболее перспективное и реальное для устранения "ручейковой" коррозии в нефтесборных коллекторах, находящихся в эксплуатации.

Внутренний диаметр коллектора после реконструкции определяется по формуле:

$$d_2^2 = \frac{4Q'}{\pi U' \left[1 - \beta (0,83 - 0,095 \lg \mu') \left[1 - \exp \left(-2,2 \sqrt{\frac{16(Q'+Q'')^2}{\pi^2 g \cdot d_2^5}} \right) \right] \right]} \quad (11)$$

В формуле (II) значение истинной средней скорости жидкой фазы u' согласно п. 6.1.2. принимается равным 0,65 м/с. При проектировании новых нефтяных месторождений диаметры нефте-сборных коллекторов следует определять также по формуле (II).

7. ТРЕБОВАНИЯ БЕЗОПАСНОСТИ И ВЛИЯНИЕ НА ОКРУЖАЮЩУЮ СРЕДУ

7.1. В целях обеспечения охраны труда ,безопасного выполнения работ, соблюдения экологических требований при работе по предлагаемой технологии должны соблюдаться "Правила безопасности в нефтедобывающей промышленности", утвержденные Госгортехнадзором СССР 31 января 1974 г. (М.Недра, 1975).

7.2. Технология не требует разработки дополнительных мер по безопасности и охране окружающей среды сверх положений указанных выше правил и гарантирует безопасность, удобство и безаварийность системы, где внедряется технология.

7.3. Поскольку для внедрения предлагаемой технологии не требуется дополнительного оборудования к тому, которое установлено для обычной (базовой) технологии, неисправности работы оборудования и способы их устранения осуществляются по действующим инструкциям эксплуатации нефтепромыслового оборудования.

8. РЕАЛИЗАЦИЯ МЕТОДИКИ НА ЭВМ

8.1. Подготовка исходных данных

Исходная информация заносится на специальные бланки.

К исходным данным относятся:

- число участков (KN) ;
- признак PRP . Если ввести $PRP=1$, то вводится P_N и P_K , если ввести PRP - любое другое число, то вводится \bar{P} ;
- названия участков;
- диаметр трубы (мм) ;
- расход жидкой фазы (т/сут) ;
- обводненность (%) ;
- толщина стенки трубы (мм) ;
- значение истинной скорости жидкой фазы смеси $u' = 0,65 \frac{M}{\rho_{жк}}$;
- объемный расход газа (m^3 газа / m^3 нефти) ;
- динамическая вязкость жидкой фазы (сП) ;
- газовый фактор, приведенный к нормальным условиям (m^3/m^3) ;
- атмосферное давление (ат) ;
- стандартная температура ($^{\circ}C$) ;
- средняя температура нефти ($^{\circ}C$) ;
- динамическая вязкость газовой фазы (сП) ;
- коэффициент сжимаемости ;
- коэффициент растворимости (m^3/m^3 Па) ;
- процент отбора газа трубчатым устройством ;
- плотность нефти (кг/ m^3) ;
- плотность воды (кг/ m^3) ;

8.2. Выходная информация

Для контроля заданных исходных данных и правильности их перфорации распечатывается вся исходная информация. Данные, общие для всех участков, печатаются перед таблицей. В таблице распечатываются исходные данные для каждого участка.

8.3. Описание программы

Для реализации данной методики составлена программа „*SHINA*”. Она написана на алгоритмическом языке Фортран - IV. Подготовка исходных данных для расчета выполняется на перфокартах. Каждая строка на отдельной перфокарте. Программа позволяет за одну прогонку рассчитать до 100 участков.

В таблице I приведены основные условные обозначения, принятые при описании алгоритма расчета, и их идентификации в программе.

На рис. I представлена укрупненная блок-схема программы, которая показывает процесс организации счета.

Ниже в приложении приведен текст программы, а также результаты расчета контрольного примера.

8.4. Контрольный пример

Для иллюстрации расчета по программе „*SHINA*” и данной методики ниже дается описание контрольного примера.

- *KN* = 5

- *DRP* = 3

НЕФ. КОЛ. К - 89 (КСП-3)

САМОТЛОРНЕФ. К. ДНС - 2

К. СВ. К. Т. 'К' - ДНС - 2

ВЕЛОЗЕРНЕФ. К 308 - КСП 14

СК. 9 до Т.ВР. I B B

Блок-схема программы

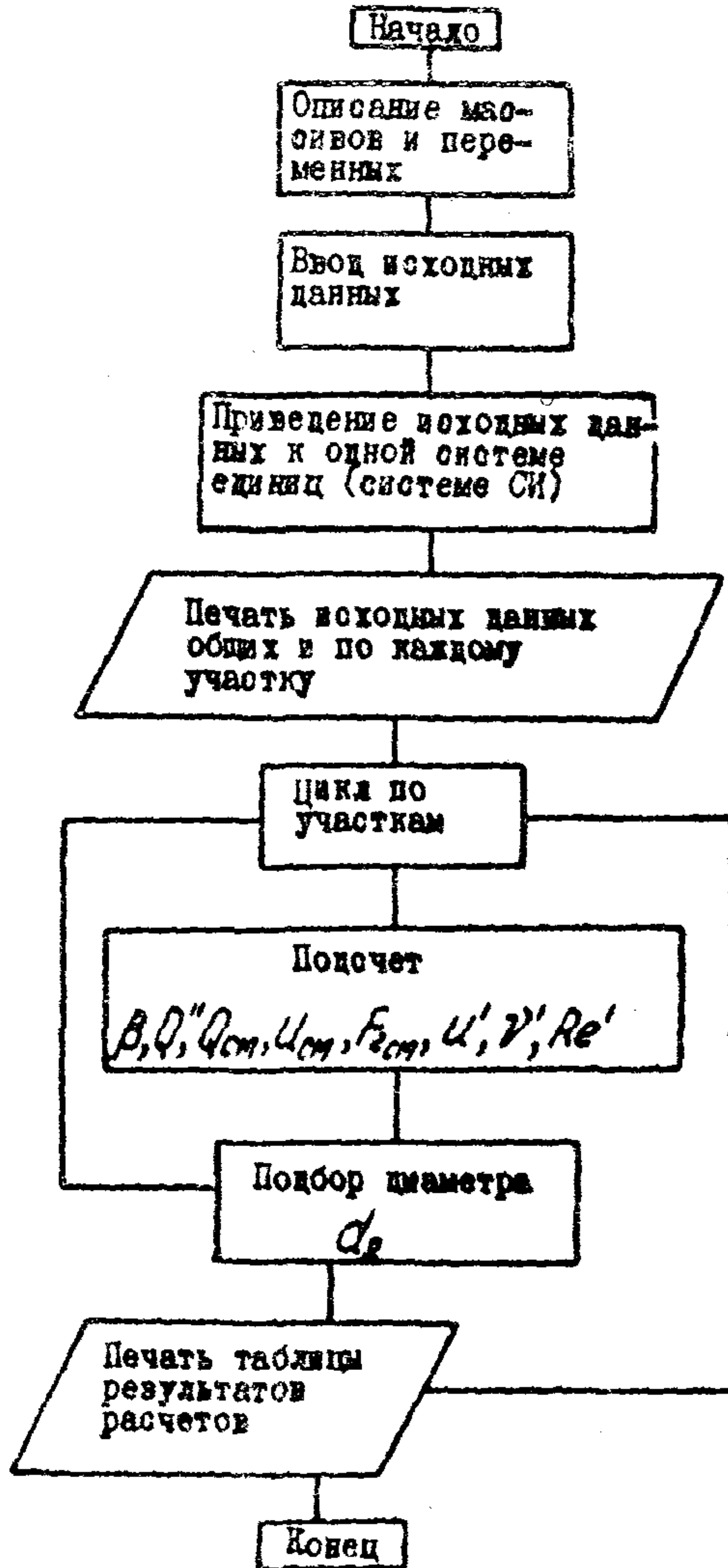


Рис. I

- $d_1 = 53 \text{ } \phi \text{ мм}; d_2 = d_3 = 82 \text{ } \phi \text{ мм}, d_4 = d_5 = 720 \text{ мм}.$
- $Q'_1 = 3232 \text{ т/сут}, Q'_2 = 5787,9 \text{ т/сут}, Q'_3 = 10147,6 \text{ т/сут},$
 $Q'_4 = 2743,6 \text{ т/сут}, Q'_5 = 2172,3 \text{ т/сут}.$
- $W_1 = 61\%, W_2 = 60\%, W_3 = 63\%, W_4 = 45\%, W_5 = 4\phi\%$
- $\Delta_1 = \Delta_3 = \Delta_4 = \Delta_5 = 8 \text{ мм}, \Delta_2 = 8,5 \text{ мм}$
- $\mu' = \phi.65$ только при расчете диаметра
- $Q_{гг} = 0 \frac{\text{м}^3 \text{газ}}{\text{м}^3 \text{нефти}}$
- $\mu' = 4,75 \text{ сл}$
- $\Gamma_{ф_0} = 76,1 \text{ м}^3/\text{м}^3$
- $\rho_0 = 1 \text{ ат}$
- $T_0 = 20^\circ \text{C}$
- $T = 30^\circ \text{C}$
- $\mu'' = 12,65 \text{ слз}$
- $z = 0,97$
- $S = 1 \text{ м}^2/\text{м}^3 \text{ ПА}$
- $K = 1$
- $\rho_H = 846 \text{ кг/м}^3$
- $\rho_6 = 1000 \text{ кг/м}^3$
- $\bar{\rho}_1 = 8,5 \text{ ат}, \bar{\rho}_2 = \bar{\rho}_3 = 11 \text{ ат}, \bar{\rho}_4 = 6 \text{ ат}, \bar{\rho}_5 = 10 \text{ ат}.$

8.5. Принятые обозначения

Таблица

Назначение параметров в алгоритме	Смысл идентифицируемого параметра	Идентификатор	Размерность
1	2	3	4
Γ_{ϕ_0}	газовый фактор, приведенный к нормальным условиям	$G\phi$	$\text{м}^3/\text{м}^3$
d_1	внешний диаметр трубы	D	мм
Δ	толщина стенки трубы	ΔEL	мм
Q'	расход жидкой фазы	Q	т/сут
Q_{gr}	объемный расход газа	QG	$\text{м}^3 \text{газа}/\text{м}^3 \text{нефти}$
μ'	динамическая вязкость жидкой фазы	μ	сп
P_0	атмосферное давление	$P\phi$	ат
P_H	начальное давление	P_H	ат
P_K	конечное давление	P_K	ат
\bar{P}	среднее давление	P	ат
W_H	содержание нефти в жидкой фазе (доли ед.)	W_H	безразмерн.
W_6	обводненность (доли ед.)	W_B	безразмерн.
W	обводненность (%)	W	%
Z	коэффициент сжимаемости	Z	безразмерн.

1	2	3	4
\bar{S}	коэффициент растворимости	S	$\text{м}^3/\text{м}^3 \text{ Па}$
\bar{t}	средняя температура нефти	T	$^{\circ}\text{C}$
t_0	стандартная температура	$T\phi$	$^{\circ}\text{C}$
K	процент отбора газа трубчатым устройством	K	%
Q_H	расход нефти	QH	т/сут
g	ускорение свободного па- дения	G	$\text{м}/\text{сек}^2$
ρ_H	плотность нефти	RH	$\text{кг}/\text{м}^3$
ρ_b	плотность воды	RB	$\text{кг}/\text{м}^3$
β	расходное газосодержание	V	безразмерн.
Q''	расход газа	QQ	$\text{м}^3/\text{сек}$
Q_{CM}	объемный расход смеси	QCM	$\text{м}^3/\text{сек}$
u_{CM}	скорость смеси	uCM	$\text{м}/\text{сек}$
F_{zCM}	число Фруда смеси	FR	безразмерн.
α	истинное газосодержание	AL	безразмерн.
u'	истинная скорость жидкой фазы	$u1$	$\text{м}/\text{сек}$
ν'	кинематическая вязкость жидкой фазы	$\nu1$	$\text{м}^2/\text{сек}$
Re'	число Рейнольдса	RE	безразмерн.
d_2	расчетный диаметр трубы	B	мм
μ'	динамическая вязкость газа	MM	с П
NN	название приемного пункта		
-	номер участка	NN	
u''	скорость газовой фазы	uI	$\text{м}/\text{сек}$

ПРОГРАММА И РЕЗУЛЬТАТЫ РАСЧЕТА КОНТРОЛЬНОГО ПРИБОРА

Приложение

```

//SMINA JOB HSCLEVEL(12.0),REGION=7ANK
// EXEC FORTLG
//PORT,SYSIN DC *
IEP1421 = STEP HAS EXECUTED - COND CODE 0270
IEP3731 STEP /PORT / START 00255.102
IEP3741 STEP /PORT / STEP 00255.103 CPU 04.16300 MATH 1070

```

Row	Code	Description	Address	Content
0021		INTEGER BPP, N, K, X	0043	PRINT 205, G
0022		REAL P, H, C, M, P, Y, B, T, Z, L, M, N, H, P, B, C, S, I, A	0044	PRINT 206, H, I, B
0023		DIMENSION G(1:20)	0045	PRINT 020
0024		DIMENSION A(1:20), B(1:20), C(1:20), D(1:20), E(1:20)	0046	GO TO 11
0025		DIMENSION H(1:20), I(1:20), J(1:20), K(1:20), L(1:20)	0047	11 PRINT (0.4 * (A(1) + B(1) + C(1) + D(1) + E(1)) / (H(1) + I(1) + J(1) + K(1) + L(1)))
0026		DIMENSION D(1:20), E(1:20), F(1:20), G(1:20)	0048	GO TO 12
0027		DIMENSION M(1:20), N(1:20), O(1:20), P(1:20)	0049	B(1) = C(1) * D(1) + E(1) * F(1) + G(1) * H(1)
0028		ВВОДИТСЯ ДАННЫЕ УЧАСТКА	0050	B(2) = C(2) * D(2) + E(2) * F(2) + G(2) * H(2)
0029		READ 100, K, N	0051	C(1) = C(1) * D(1) + E(1) * F(1) + G(1) * H(1)
0030		PRINT 100, K, N	0052	Y(1) = Y(1) * Z(1) + B(1) * C(1) + D(1) * E(1)
0031		ВВОДИТСЯ ДАННЫЕ ТЕОРИТИЧЕСКОГО ВОССТАНОВЛЕНИЯ	0053	B(1) = B(1) * C(1) + D(1) * E(1) + F(1) * G(1)
0032		6 READ 400, P, Y, B, T, Z, L, M, N, H, P, B, C, S, I, A	0054	B(1) = B(1) * C(1) + D(1) * E(1) + F(1) * G(1)
0033		DO 10 J=1, 20	0055	L(1) = A(1) * B(1) + C(1) * D(1) + E(1) * F(1)
0034		14 READ 100, K, N	0056	P(1) = U(1) * V(1) + W(1) * X(1) + Y(1) * Z(1)
0035		ВВОДИТСЯ ДАННЫЕ	0057	A(1) = 0.1 * B(1) + 0.2 * C(1) + 0.3 * D(1) + 0.4 * E(1)
0036		READ 400, P, Y, B, T, Z, L, M, N, H, P, B, C, S, I, A	0058	A(2) = 0.1 * B(2) + 0.2 * C(2) + 0.3 * D(2) + 0.4 * E(2)
0037		READ 400, P, Y, B, T, Z, L, M, N, H, P, B, C, S, I, A	0059	IF (P(1) > 0.5) GOTO 13
0038		READ 400, P, Y, B, T, Z, L, M, N, H, P, B, C, S, I, A	0060	IF (P(2) > 0.5) GOTO 13
0039		READ 400, P, Y, B, T, Z, L, M, N, H, P, B, C, S, I, A	0061	IF (P(1) > 0.5) GOTO 13
0040		READ 400, P, Y, B, T, Z, L, M, N, H, P, B, C, S, I, A	0062	L(1) = A(1) * B(1) + C(1) * D(1) + E(1) * F(1)
0041		READ 400, P, Y, B, T, Z, L, M, N, H, P, B, C, S, I, A	0063	V(1) = H(1) * I(1) + J(1) * K(1) + L(1) * M(1)
0042		PRINT 200	0064	A(1) = U(1) * V(1) + W(1) * X(1) + Y(1) * Z(1)
0043		IF (P(1) > 0.5) GOTO 13	0065	IF (L(1) > 0.5) GOTO 13
0044		3 READ 400, P, Y, B, T, Z, L, M, N, H, P, B, C, S, I, A	0066	PRINT 100
0045		GOTO 5	0067	STOP
0046		4 READ 400, P, Y, B, T, Z, L, M, N, H, P, B, C, S, I, A	0068	10 0040,
0047		DO 7 J=1, 20	0069	0.40,
0048		7 P(1) = P(1) * Q(1) + R(1) * S(1) + T(1) * U(1)	0070	IF (P(1) > 0.5) GOTO 13
0049		8 C(1) = 0.1	0071	IF (P(1) > 0.5) GOTO 13
0050		E(1) = 0.2	0072	IF (P(1) > 0.5) GOTO 13
0051		P(1) = 0.3	0073	01 0.1 * B(1) + 0.2 * C(1) + 0.3 * D(1) + 0.4 * E(1)
0052		DO 9 J=1, 20	0074	C(1) = 0.1 * B(1) + 0.2 * C(1) + 0.3 * D(1) + 0.4 * E(1)
0053		H(1) = 0.1 * I(1) + 0.2 * J(1) + 0.3 * K(1) + 0.4 * L(1)	0075	IF (P(1) > 0.5) GOTO 13
0054		M(1) = 0.1 * N(1) + 0.2 * O(1) + 0.3 * P(1) + 0.4 * Q(1)	0076	42 0.004 * C(1)
0055		CONTINUE	0077	GOTO 1
0056		PRINT 200, (U(1) * V(1) + W(1) * X(1) + Y(1) * Z(1))	0078	43 0.000,
0057		PRINT 207, M	0079	1 0.000, 0.1 * B(1) + 0.2 * C(1) + 0.3 * D(1) + 0.4 * E(1)
0058		PRINT 214, Z	0080	0.10,
0059		PRINT 202, S	0081	IF (A(1) > 0.5) GOTO 12
0060		PRINT 200, E, T, B, C	0082	45 IF (L(1) > 0.5) GOTO 13
0061		PRINT 201, M, N	0083	IF (L(1) > 0.5) GOTO 13
0062		PRINT 203, K	0084	IF (L(1) > 0.5) GOTO 13


```

000      1
000      * 1      |  MM  |  MM  |  P/CY7.  |
000              | (PAB.C) |
000      *-----|/2X|-----
000      *-----|-----
000      *-----|-----
000      *-----|-----
0126      STOP
0127      END

```

```

*STATISTICS* SOURCE STATEMENTS = 127;PROG= 312
*STATISTICS* NO DIAGNOSTICS GENERATED

```

```

STEP 1421 - STEP WAS EXECUTED - COND CODE 1000
STEP 3731 STEP /PRINT / START 06059.1830
STEP 3741 STEP /PRINT / STOP 06059.1840 CPL ENDA 04.1680C MADA 98H
//LNDC.SYSPRINT DD SYSOUT=

```


LOCATION	REFERS TO	SYMBOL	IN CONTROL SECTION
10C		IBCOM#	IMECCPM
1AA		ALOCIP	IME3LOC
1AC		SBRT	IMESSRT
63EC		INCER#	IMEERR#
63AB		INCER#	IMEERR#
64EC		INCER#	IMEERR#
64EA		EXP	IMESEXP
73AC		ACCON#	IMEFCVTH
73BB		ARITH#	IMEFNTH
73CC		INCUPY	IMEUOPT

LOCATION	REFERS TO	SYMBOL	IN CONTROL SECTION
1A3		FXPR#	IMEFXPR
1A9		EXP	IMEEXP
6382		INCOP#	IMECOM#
6344		INCOP#	IMECOM#
66E8		INCOP#	IMECOM#
665B		ALOC	IME3LOC
681C		SECCASO	IMECCMH?
73A4		FI0CS#	IMEFICS
750E		ACCSHTG#	IMEFNTH
7588		FCVECLT#	IMEFCVTH

LOCATION	REFERS TO	SYMBOL	IN CONTROL SECTION
7588		FCVCLT#	IMEFCVTH
75CB		FCVCLT#	IMEFCVTH
75CB		FCVZOLT#	IMEFCVTH
7584		IMECCMH?	IMECCMH?
755C		IMECCMH?	IMECCMH?
7564		IMECCMH?	IMECCMH?
796C		IMECCMH?	IMECCMH?
7718		IMEERR#	IMEERR#
786C		IMECCMH?	IMECCMH?
78AC		IMECCMH?	IMECCMH?
7E28		IMEERR#	IMEERR#
8E78		IMEERR#	IMEERR#
9428		IMECCMH?	IMECCMH?
93AC		IMEUOPT	IMEUOPT
948C		IMEFICS	IMEFICS
96C4		IMEERR#	IMEERR#
A2CB		IMEUATBL	IMEUATBL
A2F1		IMEFICS?	IMEFICS?
A478		IMEFICS?	IMEFICS?
AF88		IMECCMH?	IMECCMH?
AF88		IMEFICS	IMEFICS
B488		IMEFCVTH	IMEFCVTH

LOCATION	REFERS TO	SYMBOL	IN CONTROL SECTION
758C		FCVCLT#	IMEFCVTH
75C4		FCVCLT#	IMEFCVTH
7558		IMEERR#	IMEERR#
7588		IMEERR#	IMEERR#
7568		IMECCMH?	IMECCMH?
7568		IMECCMH?	IMECCMH?
7978		IMECCMH?	IMECCMH?
778C		IMEERR#	IMEERR#
789C		IMECCMH?	IMECCMH?
7E88		IMECCMH?	IMECCMH?
8E74		IMEERR#	IMEERR#
9484		IMEERR#	IMEERR#
9388		IMEFCVTH	IMEFCVTH
9418		IMEFCVTH	IMEFCVTH
947C		IMEERR#	IMEERR#
96C8		IMEFICS?	IMEFICS?
A20C		IMECCMH?	IMECCMH?
A388		IMEFICS?	IMEFICS?
AF7C		IMEUOPT	IMEUOPT
AF88		IMEERR#	IMEERR#
B484		IMEERR#	IMEERR#
B48C		IMEFICS	IMEFICS

ENTRY ADDRESS 88

TOTAL LENGTH B688

BP1421 - STEP WAS EXECUTED - COND 1000 6588
 BP3731 STEP /LKRD / START 86859.1848
 BP3741 STEP /LKRD / STEP 86859.1848 CPU 8M31 88.2488C WAP 988
 //60.8781N DD *

КНИ 5
 ПИСХОДАРА ИМОСЕРМАЛН

Удк 0,65000 Удк 0,65000 Удк 0,65000 Удк 0,65000 Удк 0,65000 Удк 0,65000
 ВИЗНАМУЧЕСКАЯ ВЯЗНОСТЬ (ОГ)- 4.750000
 КОЭФФИЦИЕНТ СКИМАРНОСТИ (БЕЗРАЗМЕРН.) 0,97
 КОЭФФИЦИЕНТ РАСТВОРИМОСТИ (МЗ/МЗЛ)- 1,000000
 УСКОРЕНИЕ СВОБОДНОГО ПАДЕНИЯ (М/СЕК²)- 9,810
 СТАНДАРТНАЯ ТЕМ-РА (ГРАД.С)- 27,00
 АТМОСФЕРНОЕ ДАВЛЕНИЕ (АТ)- 1,0
 М² (СПЗ)- 0,3120
 ПРОЦЕНТ ОТБОРА ГАЗА ТРУБЧАТЫМ УСТРОЙСТВОМ (ВОЛН ЕД.) 1,00
 ОБЪЕМНЫЙ РАСХОД ГАЗА (МЗ ГАЗА/МЗ МЕТРА)- 0,1
 РАСТНОСТЬ НЕФТИ (КР/МЗ)- 1000,000000
 РАСТНОСТЬ ВСАЖ (КР/МЗ)- 1000,000000

№	НАЗВАНИЕ	СРЕДНЕЕ ДАВЛЕНИЕ	УСЛОВИЯ	РАСХОД	ОБЪЕМ	СРЕДНЯЯ	РАСХОД	КОЭФФИЦИЕНТ	
УЧ	УЧАСТКА ТРУБОПРОВОДА	АТ	ТРУБЫ	ВИДОВ	ГАЗА	ТЕМП-РА	ГАЗА	МНОЖИТЕЛИ	
		ММ	ММ	Г/СУТ.	М ³	ГРАД.С	Г/СУТ.	МНОЖИТЕЛИ	
1	БЕЛ.КОЛ.К-09 (КСП-3)	0,801	0,01	430,01	3232,01	0,610000	1,300 021	1760,4021	76,09990004
2	САМОТЛОРНОЕ. К.ДМС-2	11,001	0,01	820,01	5707,91	0,600000	1,300 021	2315,1001	76,09990004
3	К.СВ.К.Т.К-ДМС-2	11,001	0,01	820,01	10147,61	0,630000	1,300 021	3794,6131	76,09990004
4	БЕЛОЗЕРНОЕ. К.ЭФ-КСП14	6,001	0,01	720,01	2743,61	0,450000	1,300 021	1000,9021	76,09990004
5	К.9 ДО Т.ВР.100	10,001	0,01	720,01	2172,31	0,400000	1,300 021	1203,3021	76,09990004

Р Е З У Л Ь Т А Т Ы

№	НАЗВАНИЕ	В	ВМ	ВР	ВМ	ВР	ВМ	ВР	ВМ	ВР	ВМ
УЧ	УЧАСТКА ТРУБОПРОВОДА	МЗ/СЕК	МЗЛ	МЗ	МЗ	МЗ	МЗ	МЗ	МЗ	МЗ	МЗ
1	БЕЛ.КОЛ.К-09 (КСП-3)	10,750010	123010	10,102010	0,703310	121710	0,200210	0,305400	0,91	2016330	0,50400
2	САМОТЛОРНОЕ. К.ДМС-2	10,703710	160010	0,295410	0,492610	0,070410	0,140010	0,306200	0,91	2260000	0,79162
3	К.СВ.К.Т.К-ДМС-2	10,607210	271010	0,303010	0,799110	0,077010	0,230010	0,303700	0,91	4010230	0,79103
4	БЕЛОЗЕРНОЕ. К.ЭФ-КСП14	10,805710	222210	0,200710	0,419410	0,003010	0,053110	0,319200	0,91	1204070	0,60000
5	К.9 ДО Т.ВР.100	10,709110	100510	0,197010	0,332010	0,017010	0,073310	0,323400	0,91	0,60000	0,00393

001421 - STEP HAS EXECUTED - COND CODE 0000
 003731 STEP ACO / START 05:59:1041
 003741 STEP ACO / STOP 05:59:1041 CPL OMP 02,90800 MASP 000
 003751 JOB /MINI / START 05:59:1041
 003761 JOB /MINI / STOP 06:57:1341 CPL OMP 55,16800

СОДЕРЖАНИЕ

1. Общие положения	<u>3</u>
2. Требования, предъявляемые к технологическому процессу	<u>4</u>
3. Технические средства и материалы, необходимые для осуществления технологического процесса	<u>4</u>
4. Механизм выработки металла в стенке трубопровода по его нижней образующей	<u>5</u>
5. Мероприятия по предотвращению "ручейковой" коррозии	<u>7</u>
6. Перевод системы промышленного сбора и транспорта продукции скважин на предлагаемую технологию	<u>8</u>
7. Требования безопасности и влияние на окружающую среду	<u>12</u>
8. Реализация методики на ЭВМ	<u>13</u>
Приложение Программа и результаты расчета контрольного прамера	<u>21</u>

РУКОВОДЯЩИЙ ДОКУМЕНТ
ТЕХНОЛОГИЯ ПРЕДОТВРАЩЕНИЯ "РУЧЕЙКОВОЙ" КОРРОЗИИ
В СИСТЕМАХ НЕФТЕГАЗОСБОРА
РД 39-0147103-347-86

Издание ВНИИСПТнефти
450055, г.Уфа, пр.Октября, 144/3

Подписано к печати 4.08.86 г. П01557
Формат 90х60/16. Уч.-изд.л.1,7. Тираж 150 экз.
Заказ 163

Ротапринт ВНИИСПТнефти